

FIG. 1

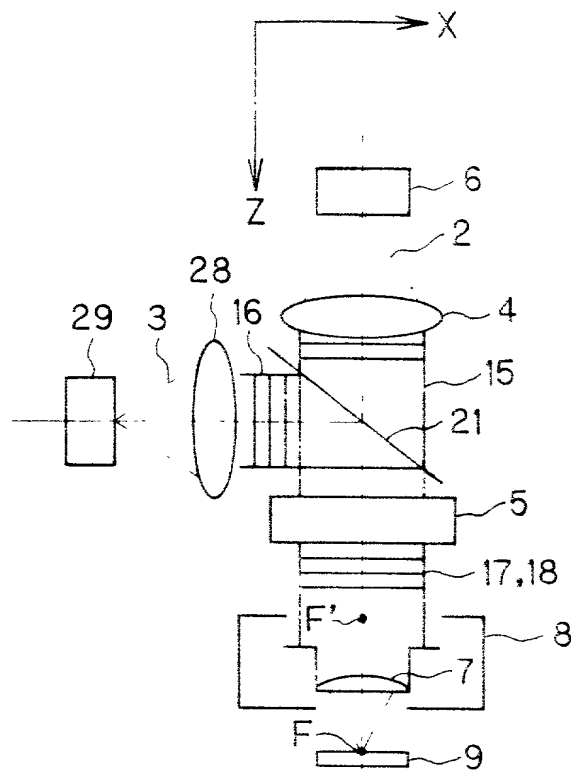


FIG. 2(a)

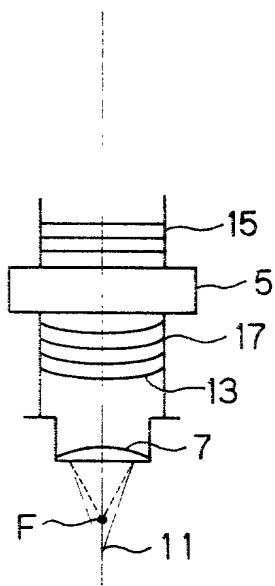


FIG. 2(b)

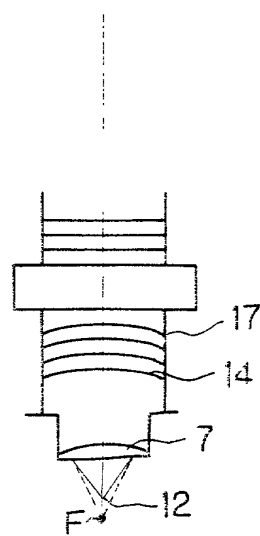


FIG. 3

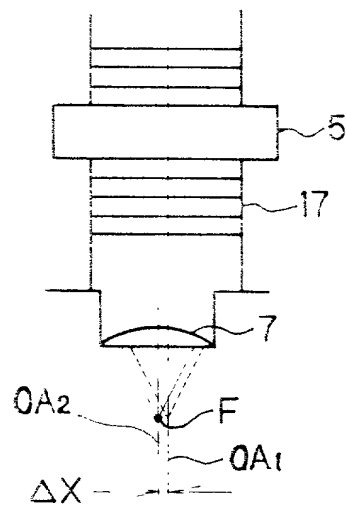


FIG. 4

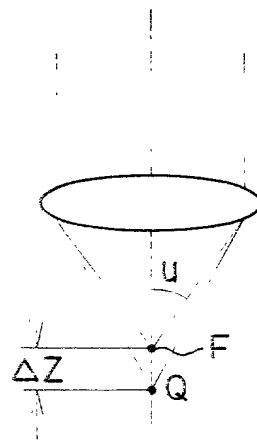


FIG. 5

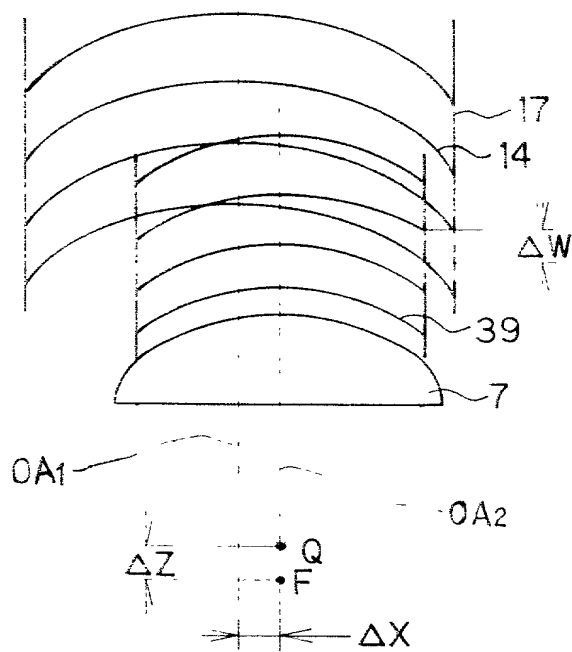


FIG. 6

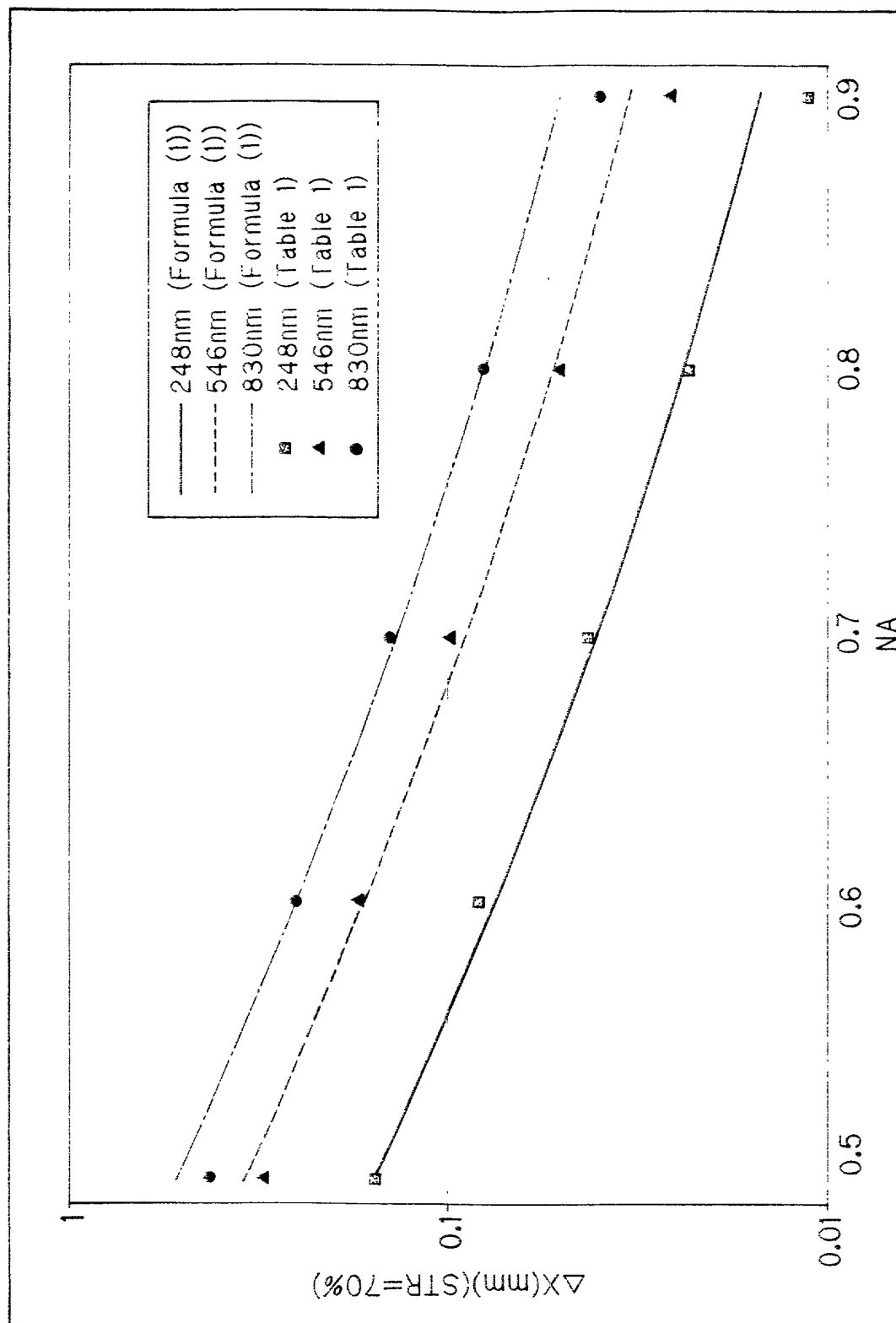


FIG. 7

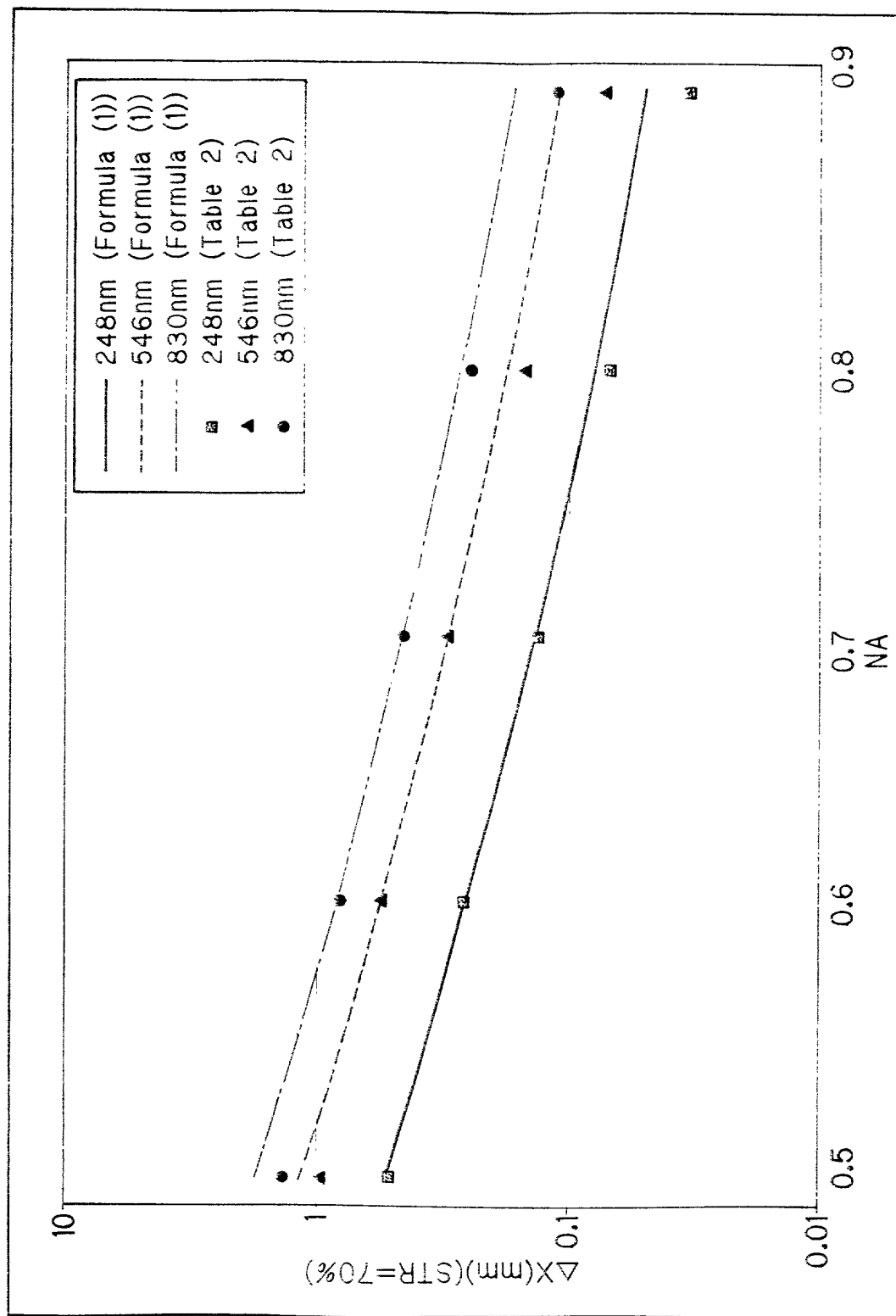


FIG. 8

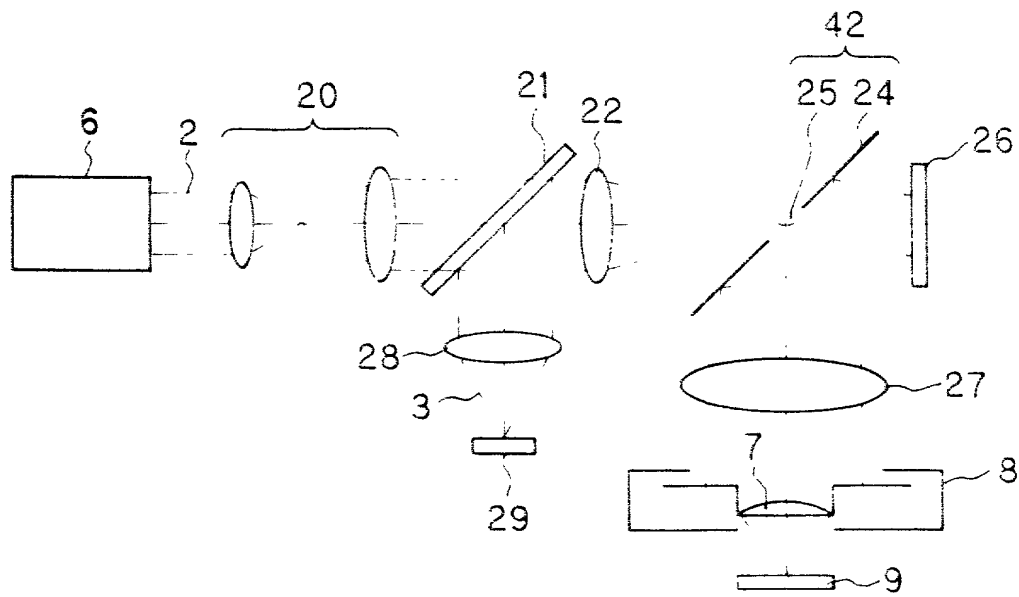


FIG. 9

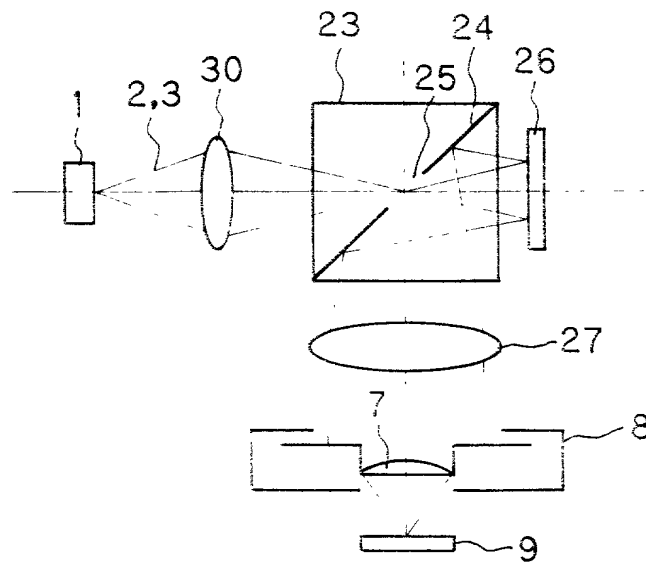


FIG. 10

Illuminating light

Pupil image formation

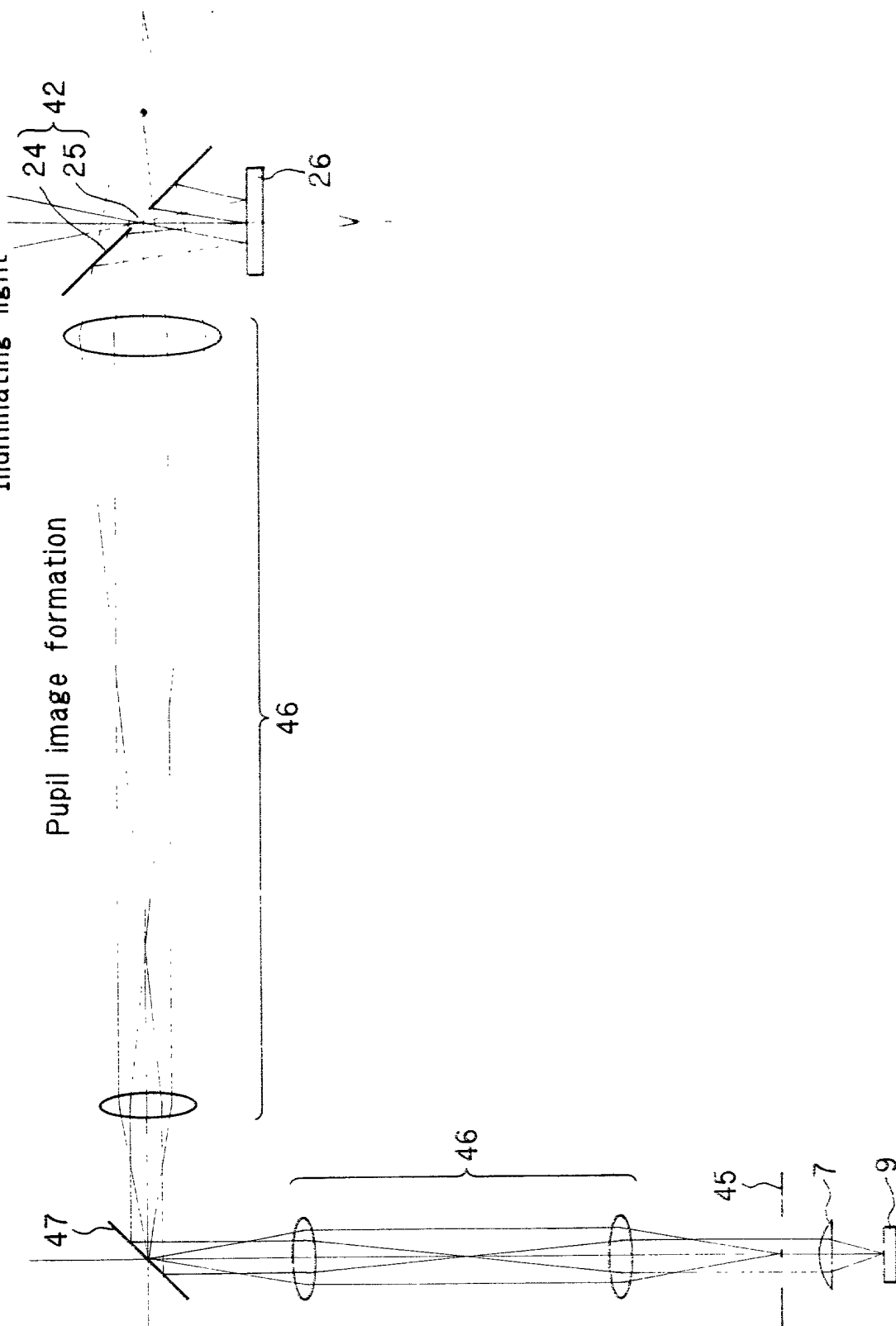


FIG. 11

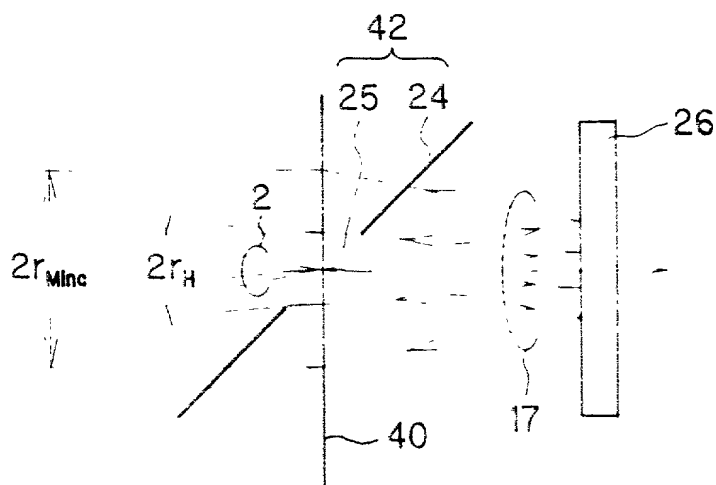


FIG. 12(a)

FIG. 12(b)

FIG. 12(c)

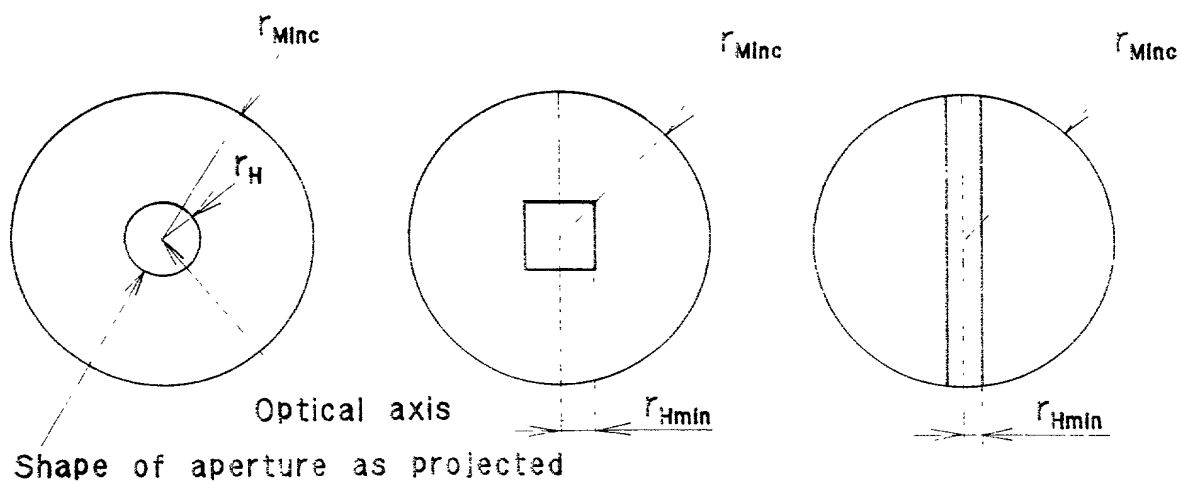




FIG. 13

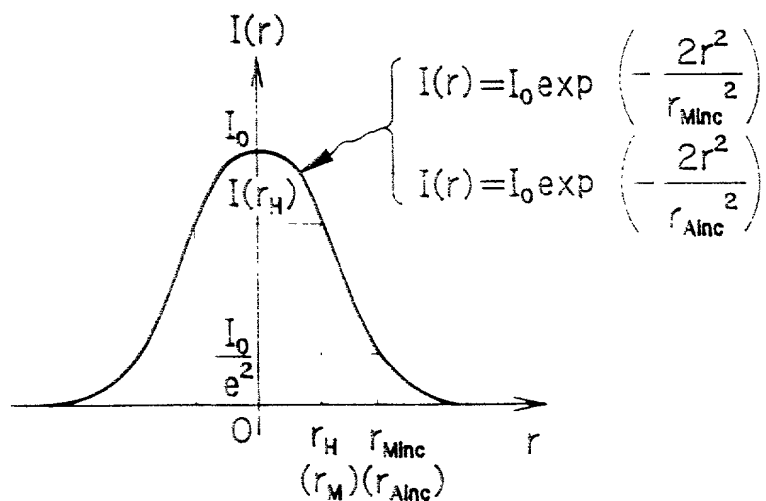


FIG. 14

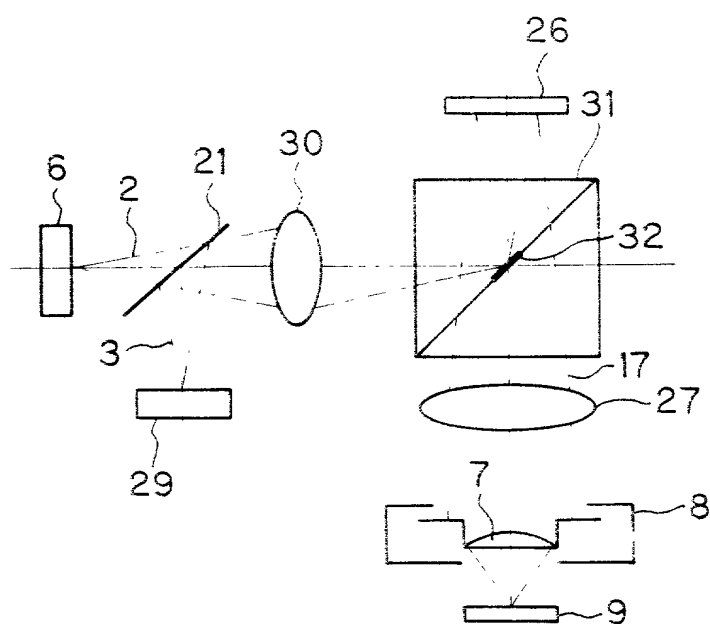


FIG. 15

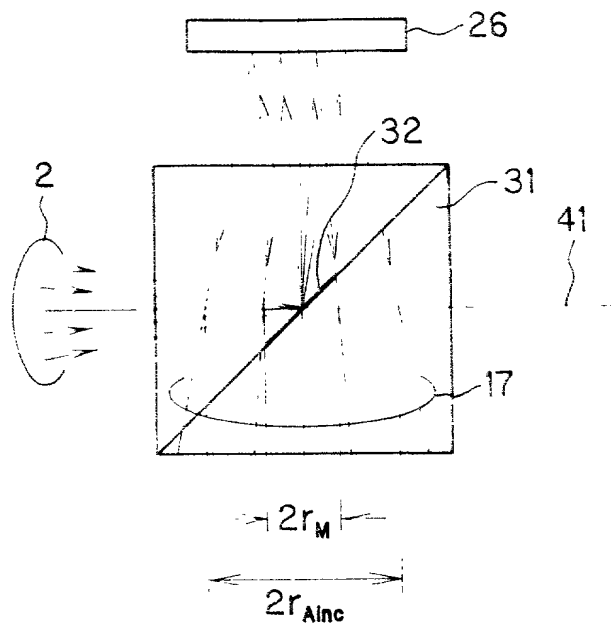


FIG. 16

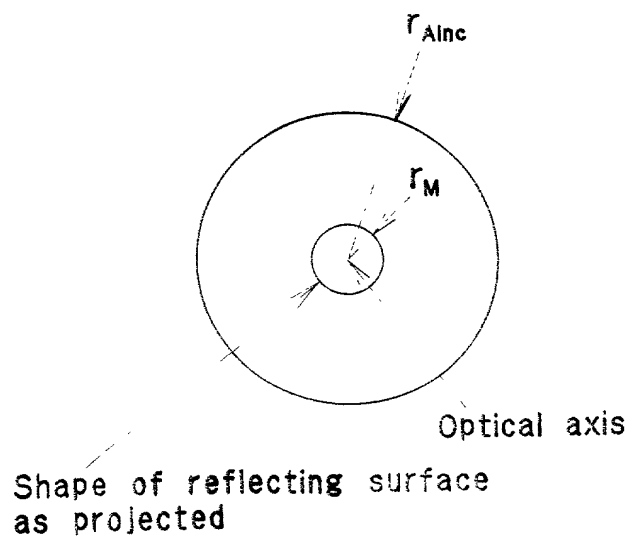


FIG. 17

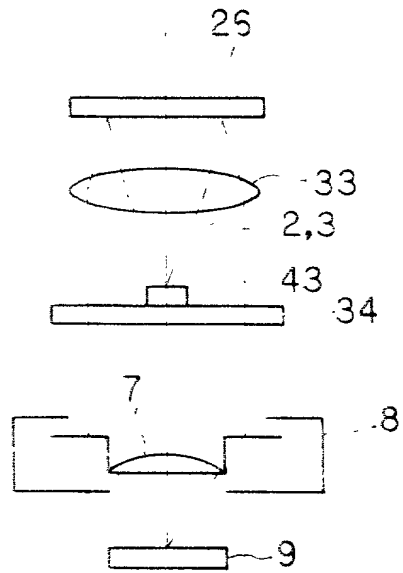


FIG. 18

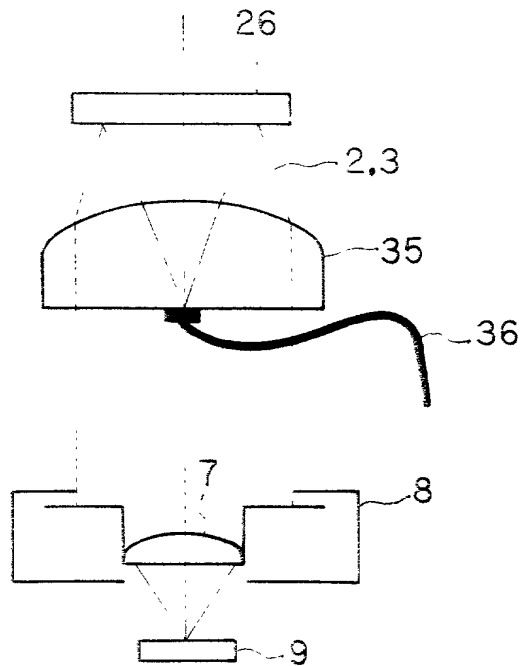


FIG. 19

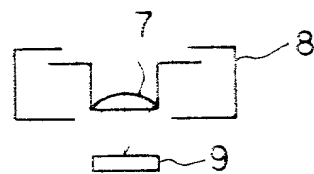
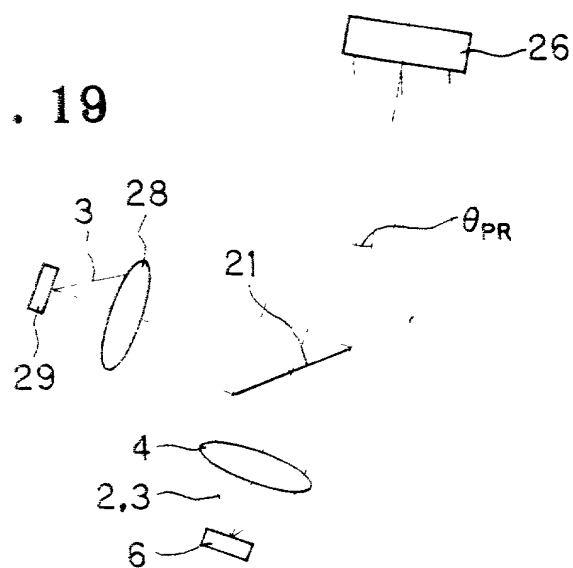


FIG. 20

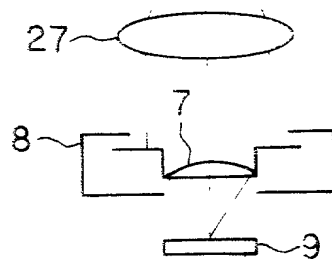
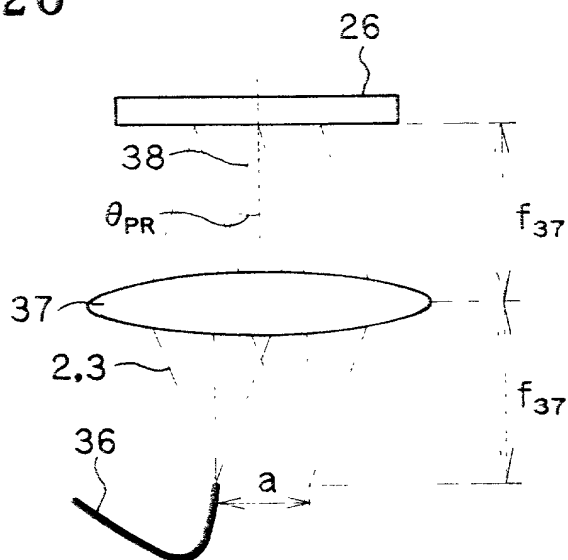


FIG. 21

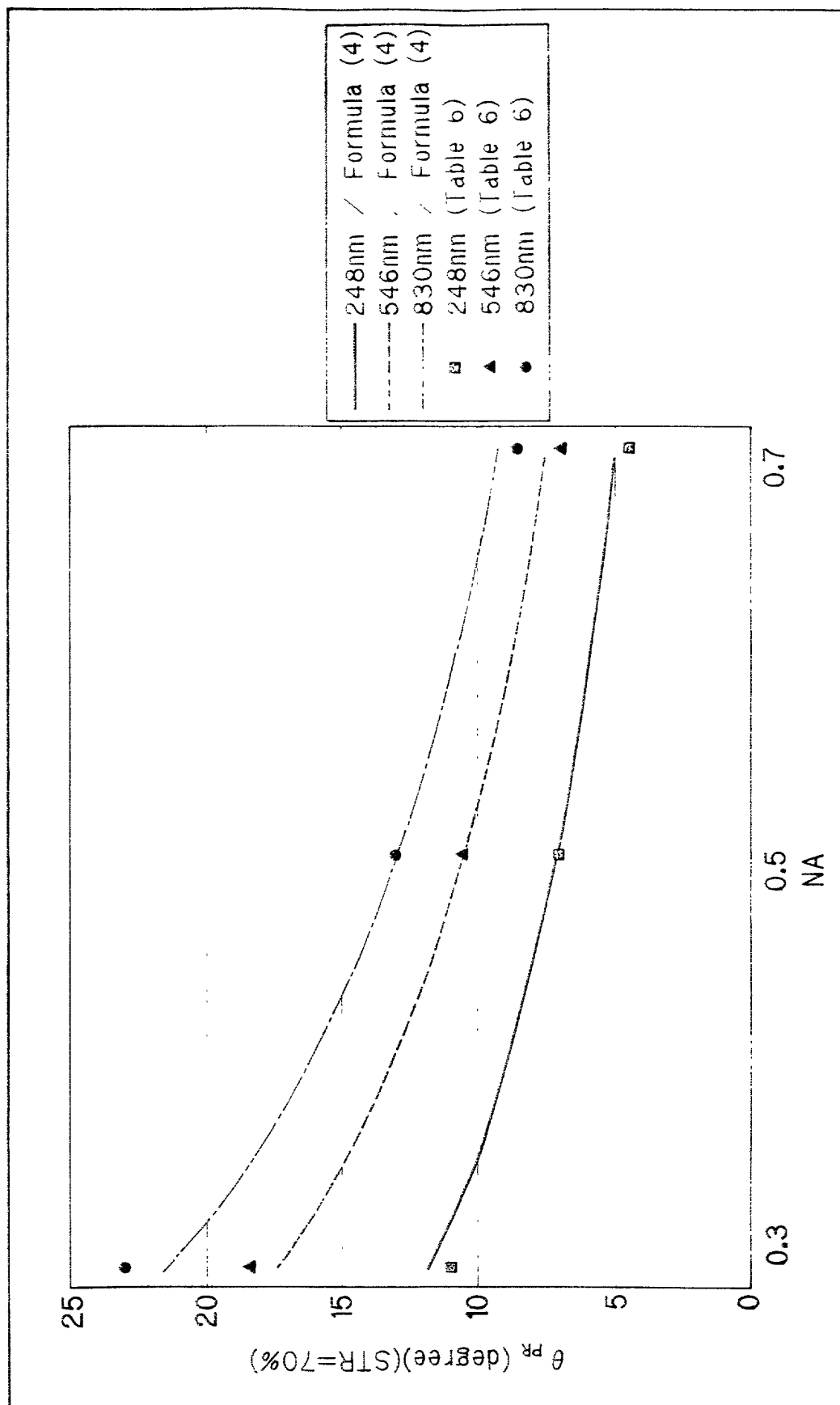
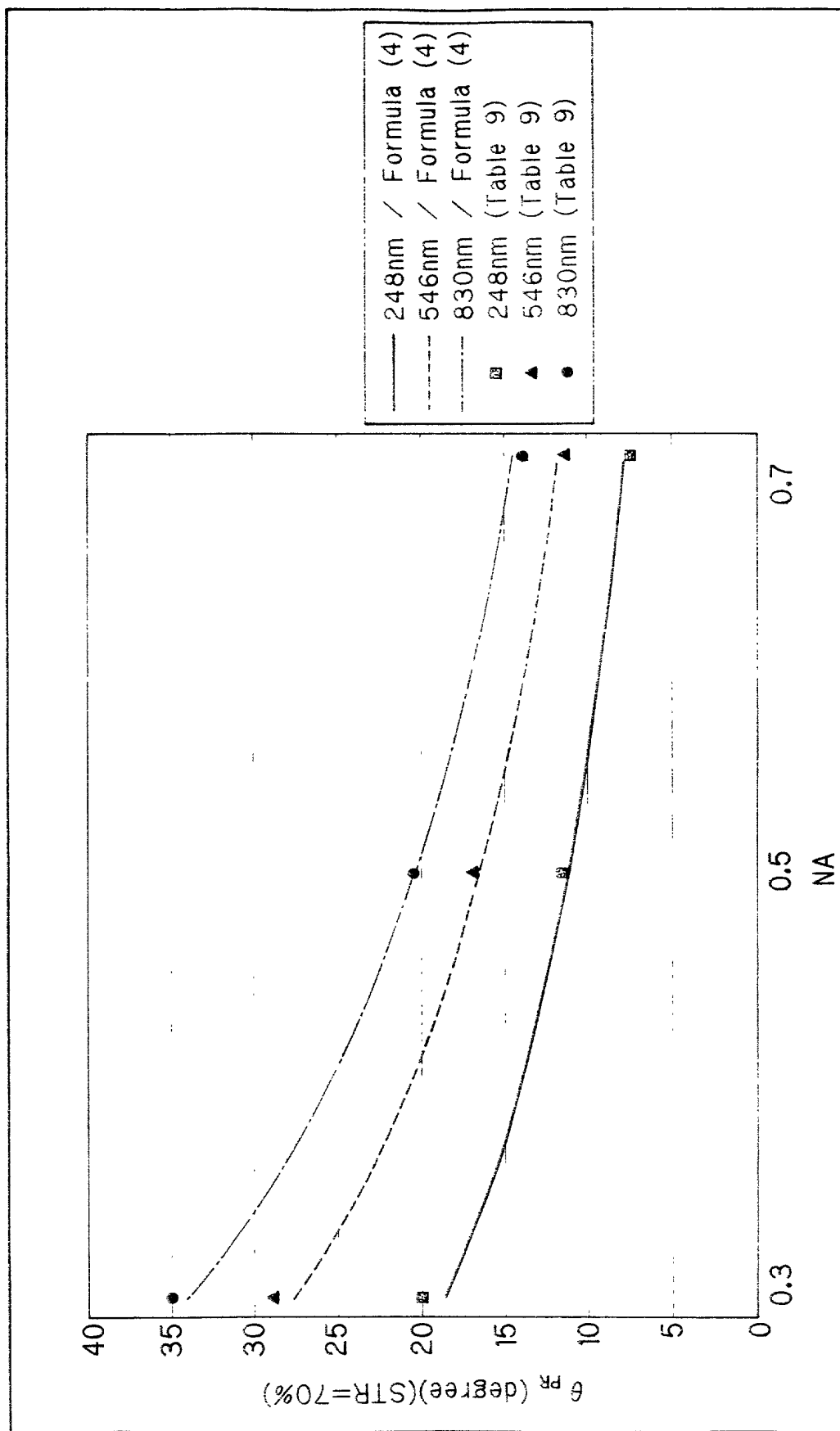
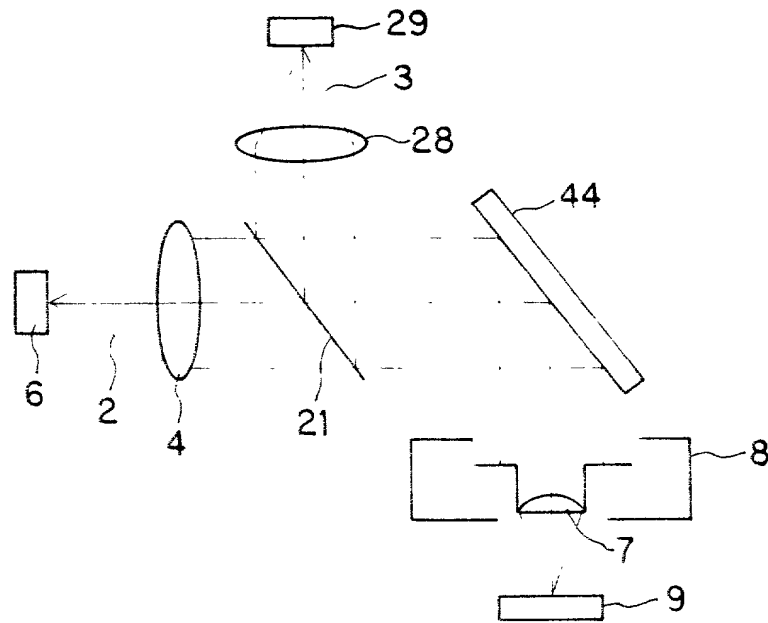


FIG. 22



# FIG. 23



# FIG. 24

44 Reflection type wavefront converting element

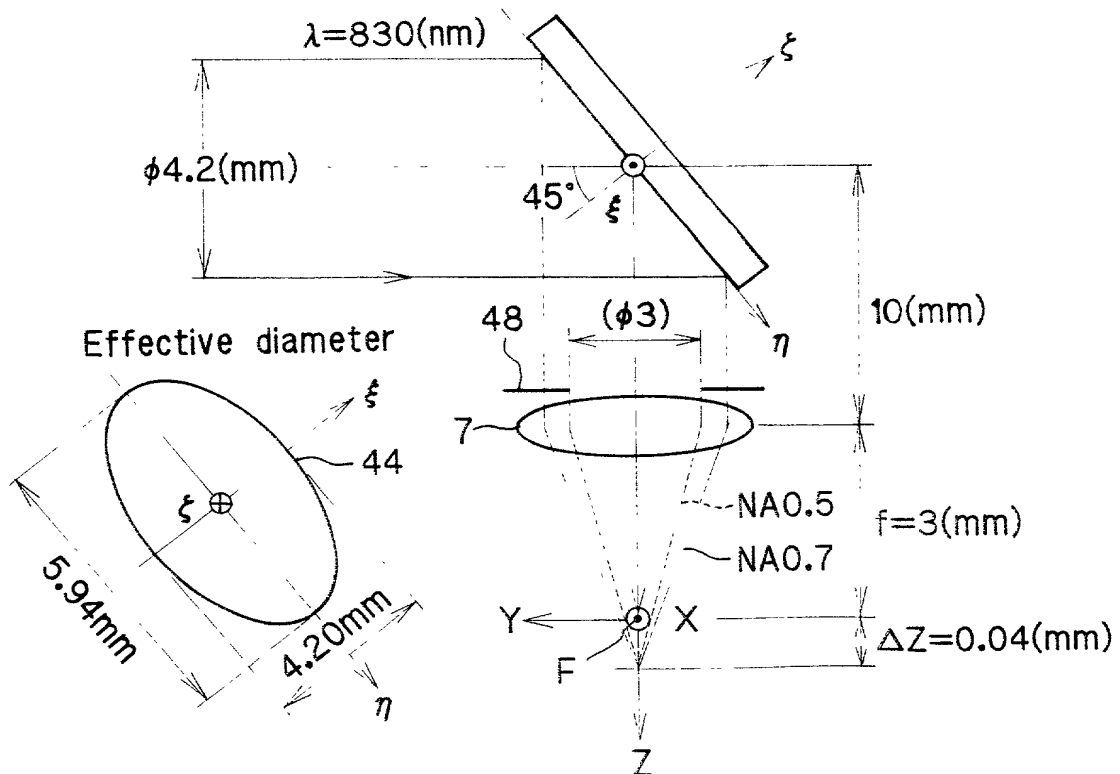
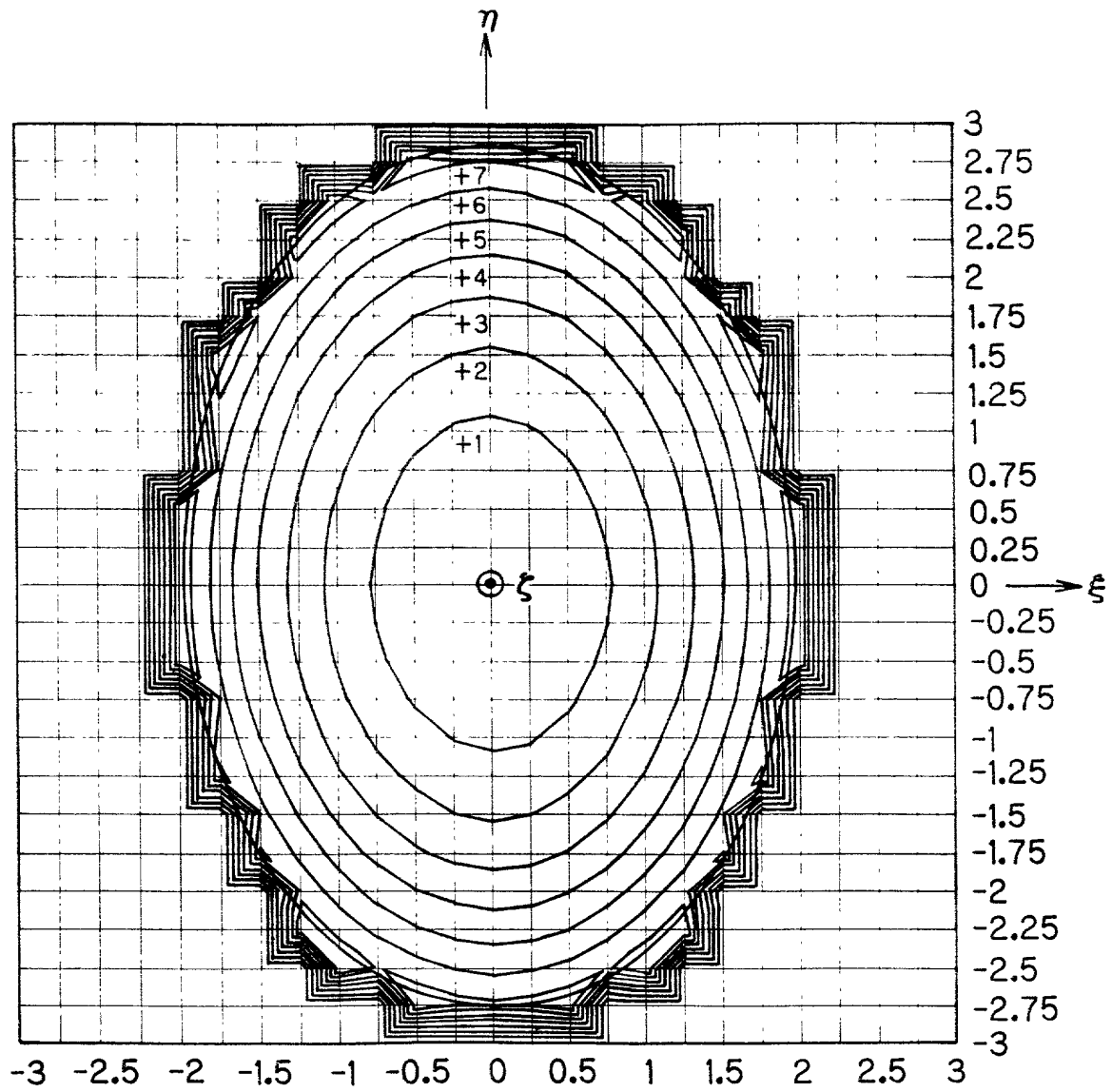


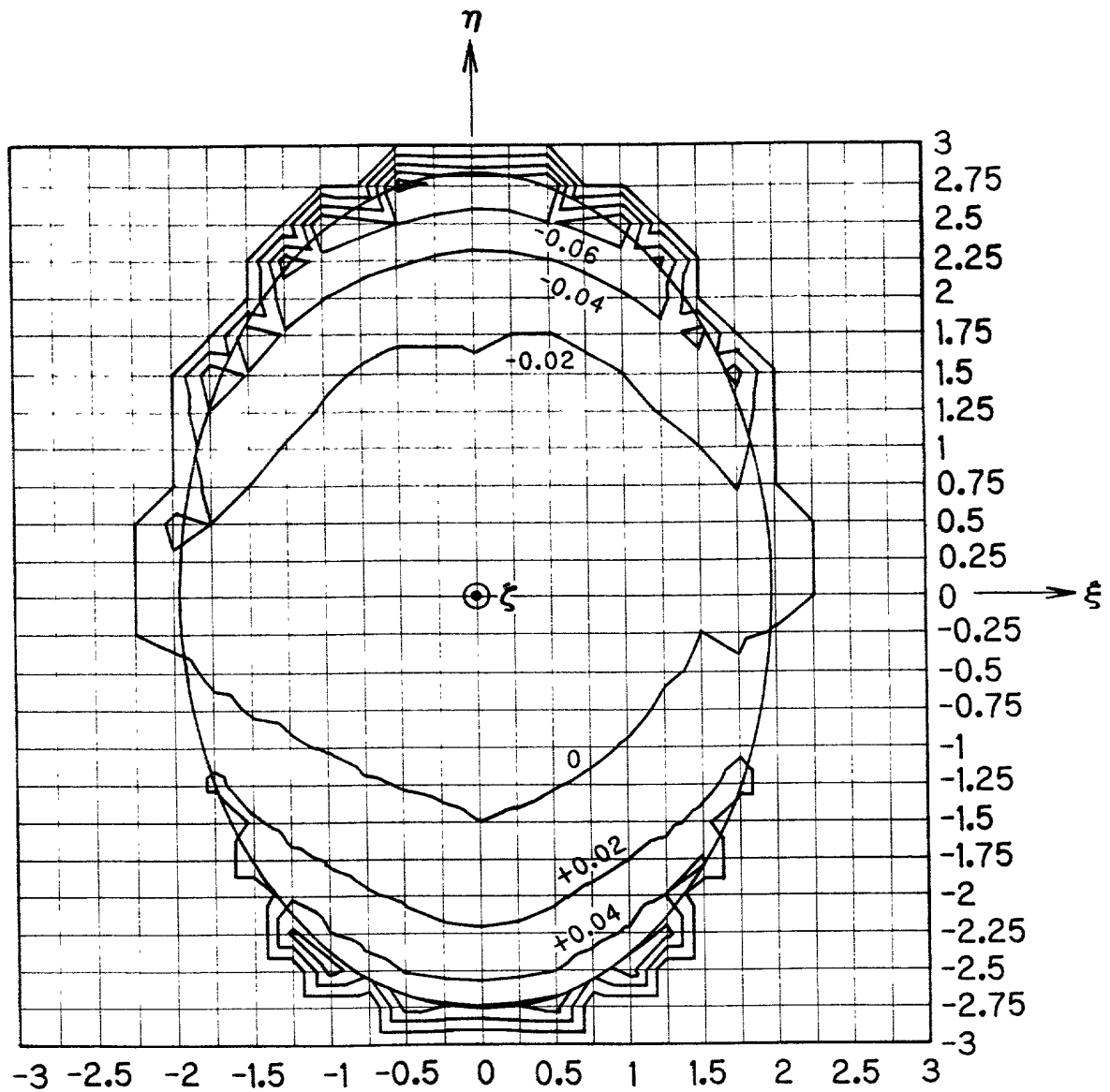
FIG. 25



10026973 122601



FIG. 26



1006973 "12601  
T0922" E76200T

FIG. 27

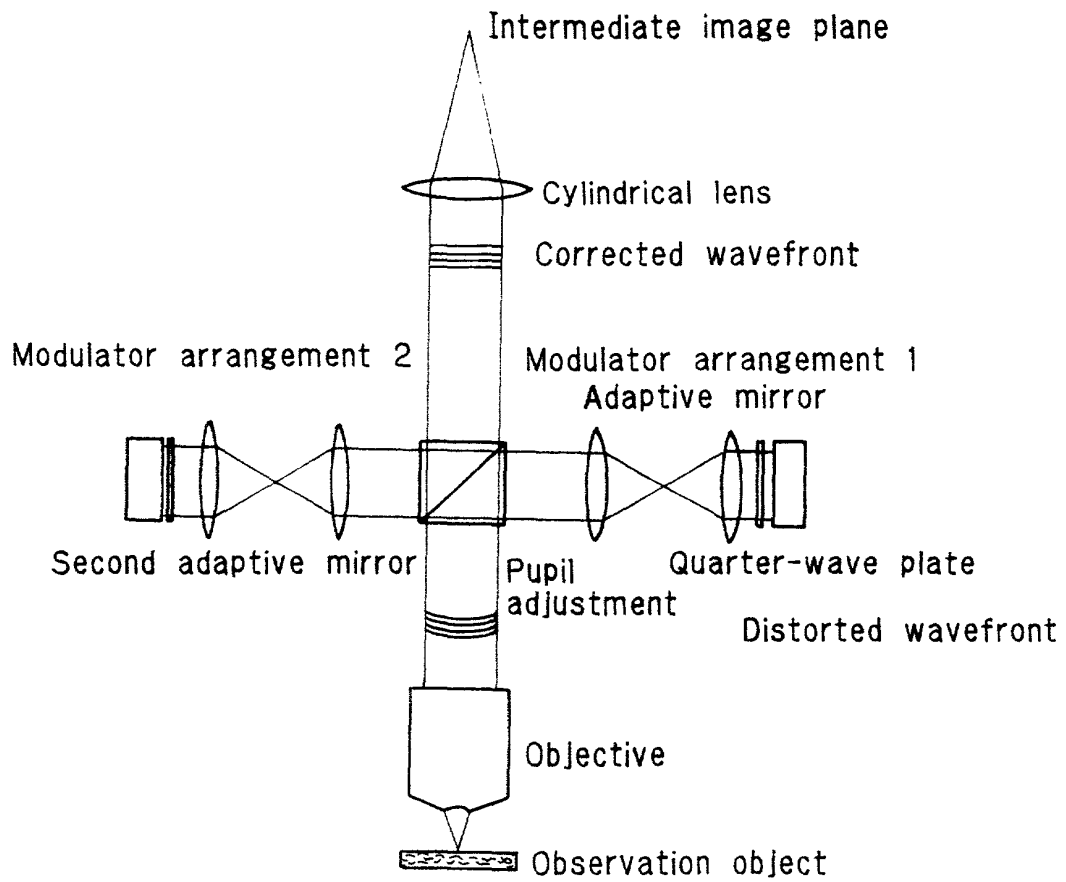


FIG. 28

